

## 102-(2) Density Current Bed の形成過程について

九州大学工学部 正員 羽田野製義

九州大学大学院 学生員○梅尾信之

九州大学 学生員 外村健司

### 1. まえがき

野水池内における土砂の堆積は粒径に応じて種々の形態をとる。即ち、大粒径のものは沈降が早いため、流入端近くに堆積し、微細な粒子はダム堤体近くに運ばれ堆積して、いわゆる Density Current Bed を形成する。Density Current Bed は、湖底に堆積した微細粒子が新たに流入する泥水密度流によって再浮上しダム堤体近くに流されることにより形成されるとの見方が支配的である。今回、Density Current Bed の形成に関して室内実験を行ない興味ある結果を得たのでここに報告する。

### 2. 実験

濁質として平均粒径  $3.6 \mu$ 、比重 2.6

7. 平均沈降速度  $0.001 \text{ cm/s}$  のパールクレイを用いた。パールクレイの粒度分布およびその懸濁液の界面沈降の特性を図-1 および図-2 に示す。水槽は図-3 に示すような 2 種の 2 次元水槽を用いた。水槽 A は長さ 3.8 m、幅 0.2 m、下流堰の高さ 0.9 m、片面アクリル製で底面勾配は  $\tan \theta = 0.208$  である。水槽 B は長さ 1.0 m、高さ 0.25 m、幅 0.1 m 全面アクリル製の密閉型水槽で、勾配を自由に変えることができる。

実験は水槽 Aにおいて、濁水を密度流として流入させた場合と、水槽内で一様に攪拌した場合について 18 時間放置したのち堆積形状を測定し、両者の差異をみた。密度流として流入させた場合、先端部に大きな head を形成し、先端部は下流堰に衝突したのち、上流へと段波状に逆上り、最終的に濁度成層状態となる。<sup>(1)</sup> 高濃度の濁水が

流入した時、現実の野水池でもこの様な現象が生じていると考えられ、Density Current Bed はこの状態から形成されると思われる。

後述のごとく、密度流として流入させた場合と、均一に攪拌した場合とでは堆積形状に差異が認められるか、そのため、均一に攪拌した場合について、パールクレイ投入量による堆積形状の差異、堆積形状の時間的変化、堆積層の濃度分布の測定を行なった。濃度分布の測定はサイフィンで採水を行なった。また、底面勾配が堆積形状に及ぼす影響を調べるために、水槽 B を用いて種々の勾配に対して一様に攪拌し堆積させ、その形状を測定した。

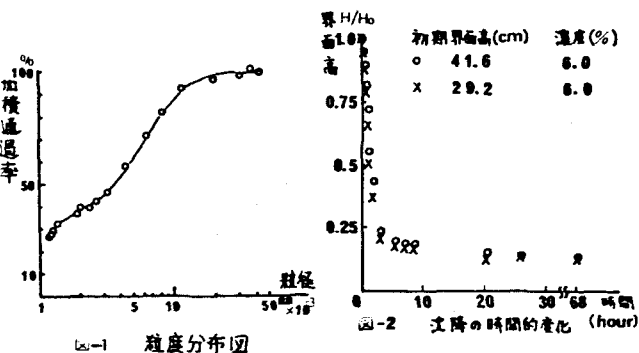


図-1 粒度分布図

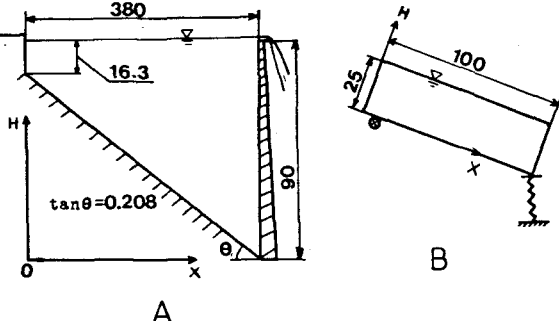


図-3 実験水槽 (単位cm)

### 3. 実験結果と考察

図-4に、同量(約16 kg)のパールクレイ懸濁液を密度流として流入させ堆積させた形状と、均一に搅拌して堆積させた鉛直形状との比較を示す。両者の差異はあまり認められず、また、堆積層は下流250 cm付近までは水深にほぼ比例して増加し、それより下流で急に厚さを増しほぼ水平になることがわかる。

濃度が均一な場合、単に粒子の沈降だけなら水深に比例して堆積するはずであるが、上記の結果から沈降、堆積の過程で粒子の下流への移動が生じていると考えられ、これが本実験における Density Current Bed 形成の主因であると思われる。

次に、堆積層の濃度分布を図-5に示す。上流より260,

310, 370 cm の3点で測定した。表面近くでは濃度は小さく、下より底面に近づくにつれて濃度が増加して(%)ゆくのがわかる。

図-6に、投入パールクレイ量の差異による堆積形状の変化の様子を示す。下流域にその影響が顕著に表われてお

り、水平堆積面の高さが異なっている。

図-7は、堆積形状の時間的変化の様子を示したものである。図から、上流部の堆積層は時間的に変化せず、水平堆積部では界面沈降が進行していくことがわかる。

水槽Bを用いて底面勾配の堆積形状に及ぼす影響を示したのが図-8である。勾配が上流部の堆積層の厚さに影響を与えており、緩勾配になるとこの部分の堆積厚が大きくなることがわかる。また、下流部では逆の傾向になっている。

### 4.まとめ

以上、Density Current Bed 水平部の形成には沈降、堆積時の粒子の移動がその主因となっていること、また、その形状は投入済質量、沈積時間、底面勾配などの影響を受けることを示した。しかし、粒子移動の機構、堆積層の限界勾配など不明な点が多く今後の課題であると考える。最後に、本研究にあたり終始適切な御指導を頂いた九州大学平野助教授に謝意を表します。

### (参考文献)

- 1) 平野, 羽田野, 赤司

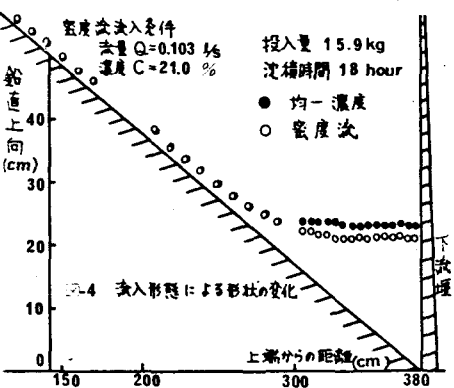


図-4 漂入形態による形状の変化

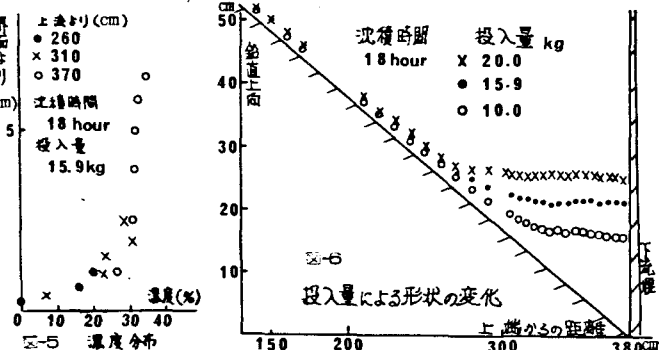


図-6 投入量による形状の変化

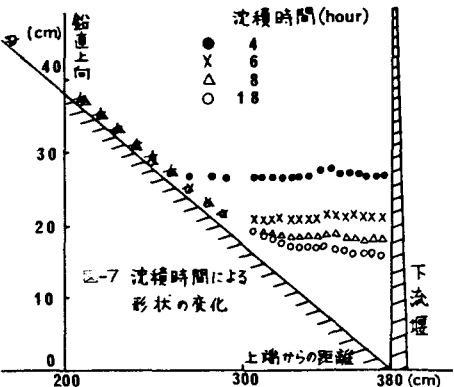


図-7 沈積時間による  
形状の変化

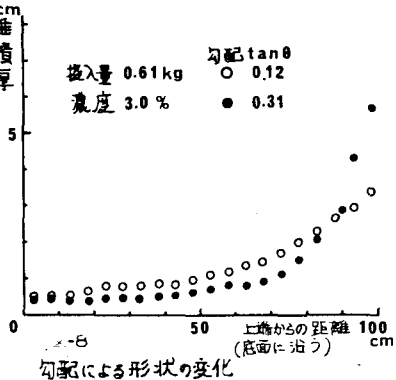


図-8 勾配による形状の変化